

文章编号: 0258-7025(2003)03-0267-04

Ce³⁺ 离子对掺 Er³⁺ 硼酸盐玻璃光谱性质的影响

杨建虎, 戴世勋, 胡丽丽, 姜中宏, 李顺光

(中国科学院上海光学精密机械研究所, 上海 201800)

摘要 研究了 Ce³⁺ 对掺 Er 硼酸盐玻璃荧光光谱性质的影响, 比较了不同的 Ce³⁺ 掺杂浓度下 Er³⁺ 离子荧光发光强度的变化, 分析了 Ce³⁺ 离子对 Er³⁺ 离子作用的原理, 应用经典方程计算了 Er³⁺ 离子 $^4I_{11/2}$ 能级的荧光寿命及其变化。

关键词 硼酸盐玻璃; 光谱性质; 经典方程; Ce³⁺ 离子; Er³⁺ 离子

中图分类号 TQ 171.73⁵; O 433.5 文献标识码 A

Influence of Ce³⁺ Ion on the Spectroscopic Properties of Er³⁺-doped Tellurite Glass

YANG Jian-hu, DAI Shi-xun, HU Li-li, JIANG Zhong-hong, LI Shun-guang

(Shanghai Institute of Optics and Fine Mechanics, The Chinese Academy of Sciences, Shanghai 201800, China)

Abstract The influence of Ce³⁺ ions on the spectroscopic properties of Er³⁺ doped tellurite glass was investigated in this work. It is found that the fluorescent intensity of $^4I_{13/2}$ level of Er³⁺ ion is enhanced, stimulated emission cross section and FWHM of fluorescent peak are increased and upconversion intensity under 980 nm excitation is greatly suppressed in Er³⁺ doped tellurite glass. This effect is due to energy cross relaxation from $^4I_{11/2}$ level of Er³⁺ to $^2F_{7/2}$ level of Ce³⁺. Through empirical equation calculation, it is found that the lifetime of $^4I_{11/2}$ level of Er³⁺ is greatly decreased by Ce³⁺ co-doping, while the lifetime decrease of $^4I_{13/2}$ is very small.

Key words tellurite glass; spectroscopy; empirical equation; Ce³⁺ ion; Er³⁺ ion

1 引言

掺 Er³⁺ 硼酸盐玻璃在光第三通讯窗口 1.55 μm 处有较大的受激发射截面和较宽的发射线宽, 因此, 硼酸盐玻璃是提高波分复用系统(WDM) 1.55 μm 放大波段传输容量的较为吸引人的基质材料^[1,2]。硼酸盐玻璃具有较宽的红外透过区、较好的玻璃稳定性和抗腐蚀性能、较低的声子能量($\approx 750 \text{ cm}^{-1}$)和较高的折射率^[2]。较低的声子能量降低了 Er³⁺ 的无辐射跃迁几率, 使得提高 Er³⁺ 离子 $^4I_{13/2}$ 能级荧光寿命成为可能。但是, 使用 980 nm 抽运时, 较低的声子能量也限制了 Er³⁺ 离子 $^4I_{11/2}$ 能级与 $^4I_{13/2}$ 能级之间的跃迁, Er³⁺ 离子在 $^4I_{11/2}$ 能

级上具有较长的寿命($\approx 200 \mu\text{s}$)^[3], 所以 $^4I_{13/2}$ 能级上的粒子数积累受到影响。Er³⁺ 离子 $^4I_{11/2}$ 能级上较长的荧光寿命使 Er³⁺ 离子非常容易产生上转换及激发态吸收现象^[4], 这对于光纤放大器来说是十分有害的。为减小上转换作用的影响, 一种解决办法是应用 1480 nm 进行抽运^[5], 但是 1480 nm 抽运不能得到较好的信噪比和充分的粒子数反转。为了实现宽带、高功率以及低噪声放大, 应该使用 980 nm 抽运。因此, 如何降低 $^4I_{11/2}$ 能级上的寿命, 降低上转换, 增加 $^4I_{13/2}$ 能级上的反转粒子数, 使掺 Er³⁺ 硼酸盐玻璃得到实际的应用, 提高 WDM 系统的传输容量, 是目前研究中的热点和难点。本文研

收稿日期: 2002-01-14; 收到修改稿日期: 2002-03-13

基金项目: 国家自然科学基金(No. 60207006) 和上海市光科技项目(022261046) 资助项目。

作者简介: 杨建虎(1977.10-), 男, 在读博士生。E-mail: yangjianhu@263.net

究了 Er^{3+} / Yb^{3+} / Ce^{3+} 共掺磷酸盐玻璃的光谱性质, 解释了 Ce^{3+} 离子对 Er^{3+} 的光谱特性参数的影响, 为改善掺 Er^{3+} 磷酸盐玻璃的光谱特性提供了一种新思路、新方法。

2 理论分析

光通讯中用掺 Er^{3+} 光纤是应用 Er^{3+} 离子 $^4I_{13/2} \rightarrow ^4I_{11/2}$ 间的跃迁以实现对 $1.55 \mu\text{m}$ 波段的信号放大。为了实现充分的粒子数反转, 一般采用 980 nm 的抽运源将基态 $^4I_{15/2}$ 能级上的粒子激发到第二激发态 $^4I_{11/2}$ 能级, 然后通过 $^4I_{11/2}$ 与 $^4I_{13/2}$ 能级之间的无辐射跃迁, 将粒子转移到 $^4I_{13/2}$ 能级上, $^4I_{11/2}$ 与 $^4I_{13/2}$ 能级之间的能量差约为 3600 cm^{-1} , 随着玻璃网络形成体声子能量的降低, 两能级间的跃迁需要的声子阶数就会增大, 使 $^4I_{13/2}$ 能级上的粒子数积累变得更为困难^[3]。磷酸盐玻璃的声子能量约为 750 cm^{-1} , 其声子阶数约为 5, 因此 $^4I_{11/2}$ 到 $^4I_{13/2}$ 间的无辐射跃迁几率较小, 不利于 $^4I_{13/2}$ 能级上粒子数的积累。两能级之间的跃迁几率可以通过选择合适的中介离子得到提高^[6]。几种稀土离子如 Ce^{3+} , Eu^{3+} 和 Tb^{3+} 等被认为是合适的中介离子, 因为它们各自的电子跃迁能级与 Er^{3+} 离子 $^4I_{11/2} \rightarrow ^4I_{13/2}$ 跃迁的能级间距相近, 但是 Eu^{3+} 和 Tb^{3+} 离子在降低 $^4I_{11/2}$ 能级寿命的同时, 也降低了 $^4I_{13/2}$ 能级的寿命^[3], 因此, 研究的目光主要集中在 Ce^{3+} 离子上。Simondi-Teisseire 等^[3]研究了掺 Er^{3+} 铝硅酸盐玻璃中掺杂 Ce^{3+} 离子可以提高 $^4I_{13/2}$ 能级的寿命。磷酸盐玻璃具有较硅酸盐玻璃更低的声子能量和更长的 $^4I_{11/2}$ 能级寿命, 因此磷酸盐玻璃中掺杂合适的 Ce^{3+} 离子, 降低 Er^{3+} 离子 $^4I_{11/2}$ 能级的寿命是可行的。表 1 所示为几种不同玻璃的声子能量和 Er^{3+} 离子 $^4I_{11/2}$ 能级寿命的比较。

表 1 不同玻璃的声子能量和 Er^{3+} 离子 $^4I_{11/2}$ 能级寿命的比较

Table 1 Comparisons of phono energies of various glasses and lifetimes of $^4I_{11/2}$ level of Er^{3+}

Glass	Phono energy / cm^{-1}	Lifetime of Er^{3+} $^4I_{11/2}$ level/ μs
Phosphate ^[7]	1200	2.8
Al/Silicate ^[3]	1100	10
Aluminate ^[8]	780	130
Tellurite ^[4]	750	200

由于 Er^{3+} 离子在 980 nm 处的吸收峰较小, 为了提高 980 nm 的抽运效率, 通常掺杂一定量的 Yb^{3+} 离子, 通过 Yb^{3+} 离子与 Er^{3+} 离子之间的共振能量转移, 来达到提高抽运效率的目的。 Yb^{3+} 离子与 Er^{3+} 离子以及 Er^{3+} 离子与 Ce^{3+} 离子之间的能量转移原理如图 1 所示。根据图 1, 希望借助 Ce^{3+} 离子 $^2F_{5/2} \rightarrow ^2F_{7/2}$ 能级间的跃迁加速 Er^{3+} 离子 $^4I_{11/2}$ 能级上的粒子到 $^4I_{13/2}$ 能级的迁移, 提高 $^4I_{13/2}$ 能级的反转粒子数。

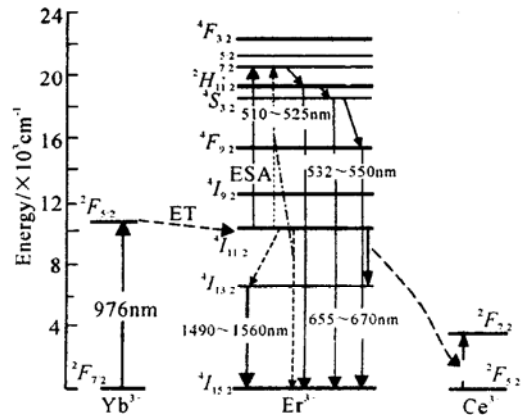


图 1 Yb^{3+} 与 Er^{3+} 及 Er^{3+} 与 Ce^{3+} 离子能级间能量传递原理

Fig. 1 Energy transfer theory of Yb^{3+} to Er^{3+} and Er^{3+} to Ce^{3+}

3 实验方法

选取 $75\text{TeO}_2\text{-}20\text{ZnO}\text{-}5\text{Na}_2\text{O}\text{-}x\text{Ce}_2\text{O}_3$ ($x = 0, 0.5, 1$) 系统作为研究对象, 按 Ce_2O_3 浓度从小到大依次编号为: YEC0, YEC1, YEC2。各组份原料均采用分析纯 TeO_2 , ZnO , Na_2CO_3 , K_2CO_3 。 Er^{3+} 和 Yb^{3+} 掺杂浓度分别为 $2.14 \times 10^{20} \text{ ions/cm}^3$, $2.14 \times 10^{21} \text{ ions/cm}^3$ 。称取混合料 20 g, 充分混合, 搅拌均匀, 放入铂金坩埚中于 $800\text{--}900^\circ\text{C}$ 的硅碳棒电炉中熔化 1 h, 将熔融液体倒入铁模上, 放入马弗炉中进行退火, 退火温度为 $300\text{--}320^\circ\text{C}$, 保温 2 h 后, 以 $5^\circ\text{C}/\text{h}$ 的速度降温至室温。将退火后的玻璃研磨、抛光, 制成 $10 \text{ mm} \times 10 \text{ mm} \times 2 \text{ mm}$ 的样品。

折射率采用最小偏向法测试; 密度采用排水失重法测试; 荧光光谱采用法国 J-Y 公司的 TIA550 型荧光光谱仪测试, 用 974 nm LD 作为激发源, 测定了上述样品在相同抽运功率下荧光强度的变化; 荧光寿命通过示波器读出。

所有测试均在室温下进行。

4 结果与讨论

4.1 荧光光谱

图 2 所示为在相同抽运条件下三种样品在 $1.55 \mu\text{m}$ 处的荧光光谱, 可以看出其荧光强度随 Ce^{3+} 离子含量的增加而增强。图 3 所示为各个样品荧光发射半高宽(FWHM) 和峰值发射截面(σ_e) 的比较, 其大小也随 Ce^{3+} 含量的增加而略有增加。

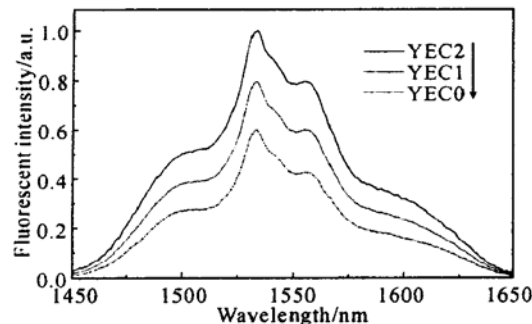


图 2 各样品在 $1.55 \mu\text{m}$ 处荧光强度的比较, 激发波长 $\lambda_p = 970 \text{ nm}$

Fig. 2 Comparisons of fluorescent intensities at $1.55 \mu\text{m}$ of various samples, excited at 970 nm

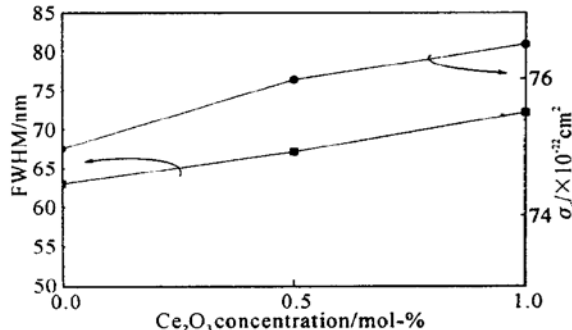


图 3 各样品在 $1.55 \mu\text{m}$ 发射处 FWHM(■)和峰值发射截面 σ_e (●)的比较

Fig. 3 Comparisons of FWHM (■) and peak emission cross section σ_e (●) at $1.55 \mu\text{m}$ of various samples

图 4 所示为在相同抽运条件下各种样品上转换光谱发光强度的变化, 随 Ce^{3+} 浓度的增加, 上转换发光强度逐渐变弱。在测试过程中用肉眼也观察到了同样的变化, 不含 Ce^{3+} 的样品, 上转换发光较强, 而含 Ce^{3+} 的样品, 上转换发光明显变弱。

4.2 荧光寿命

图 5 所示为各种样品中 Er^{3+} 离子 $^4I_{13/2}$ 及 $^4I_{11/2}$ 能级荧光寿命随 Ce^{3+} 离子含量的变化关系, Er^{3+} 离子 $^4I_{13/2}$ 能级的寿命可直接根据示波器读出。为了提高抽运效率, 样品中掺杂了一定量的

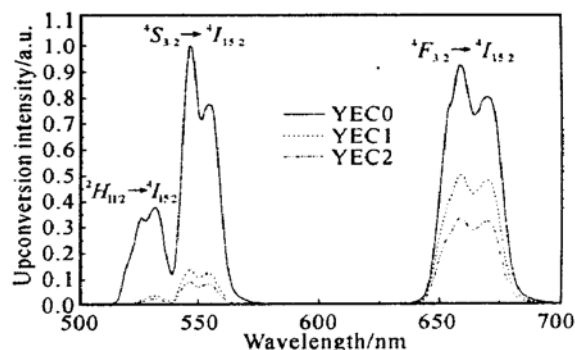


图 4 各样品上转换发光强度的比较, 激发波长 $\lambda_p = 970 \text{ nm}$

Fig. 4 Comparisons of upconversion intensities of various samples, excited at 970 nm

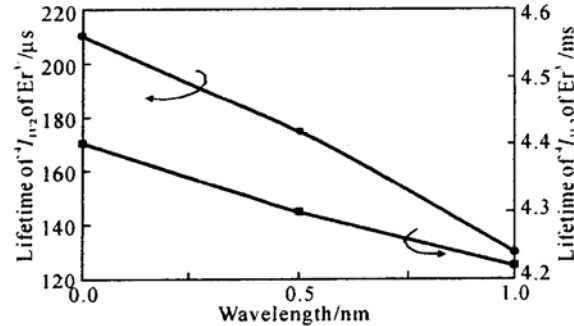


图 5 Er^{3+} 离子 $^4I_{11/2}$ (●) 和 $^4I_{13/2}$ (■) 能级寿命随 Ce^{3+} 含量的变化

Fig. 5 Variations of lifetimes of Er^{3+} ion $^4I_{11/2}$ (●) and $^4I_{13/2}$ (■) levels with Ce^{3+} concentration

Yb^{3+} , 由于 Yb^{3+} 离子 $^2F_{5/2} \rightarrow ^2F_{7/2}$ 的发射与 Er^{3+} 离子 $^4I_{11/2} \rightarrow ^4I_{15/2}$ 的发射重叠较为严重, 所以无法直接测出 Er^{3+} 离子 $^4I_{11/2}$ 能级的寿命, 这里采用文献[9]的方法对 Er^{3+} 离子 $^4I_{11/2}$ 能级的寿命(τ_3) 用下式进行计算

$$\tau_3^{-1} = \tau_{R3}^{-1} + K$$

τ_{R3} 表示 Er^{3+} 离子 $^4I_{11/2} \rightarrow ^4I_{15/2}$ 能级跃迁的辐射寿命, 可由 Judd-Ofelt 理论根据吸收光谱数据计算, 其大小基本上不受 Ce^{3+} 离子掺杂的影响。 K 表示 $^4I_{11/2}$ 到 $^4I_{13/2}$ 能级跃迁的无辐射跃迁几率, 根据经典方程^[9], 可以表示为

$$K = K_0 + 160N_{\text{Ce}} + 46N_{\text{Ce}}^2$$

其中 K_0 为不掺杂 Ce^{3+} 离子时 $^4I_{11/2}$ 能级的无辐射跃迁几率, 采用文献[9] 中的数据, N_{Ce} 为 Ce^{3+} 离子的浓度, 该公式在 Ce^{3+} 浓度较小的范围内是适用的。可以看出随着 Ce^{3+} 浓度的增加, $^4I_{11/2}$ 到 $^4I_{13/2}$ 能级间跃迁的无辐射跃迁几率增加, $^4I_{11/2}$ 能级荧光寿命明显变小(降低 38%), 而 $^4I_{13/2}$ 能级的寿命则

变化较小(降低3%)。这说明 Ce^{3+} 离子 $^2F_{5/2}$ 能级与 Er^{3+} 离子 $^4I_{11/2}$ 能级间存在较为强烈的交叉弛豫作用,其过程可表示为

$\text{Ce}: ^2F_{5/2} + \text{Er}: ^4I_{11/2} \rightarrow \text{Ce}: ^2F_{7/2} + \text{Er}: ^4I_{13/2}$

而由于能量间的差别, Er^{3+} 离子 $^4I_{13/2}$ 能级与 Ce^{3+} 离子 $^2F_{5/2}$ 能级基本上不会发生作用。所以 Ce^{3+} 离子对 Er^{3+} 离子 $^4I_{13/2}$ 能级寿命影响不大。因此, Ce^{3+} 离子的加入增加了 Er^{3+} 离子 $^4I_{13/2}$ 能级上的粒子数积累,使 $^4I_{13/2} \rightarrow ^4I_{15/2}$ 间跃迁的发光强度增加,同时也使荧光半高宽(FWHM)和峰值受激发射截面有所增加(如图3所示)。

4.3 能量转移效率

Er^{3+} 离子 $^4I_{11/2}$ 与 Ce^{3+} 离子 $^2F_{5/2}$ 之间的能量转移效率可由下式计算^[6]

$$Q_{980}^N = 1 - W_{980}^0 / W_{980}^N$$

其中 W_{980}^0 , W_{980}^N 分别表示 Ce^{3+} 离子浓度为0和 N_q 时 Er^{3+} 离子 $^4I_{11/2}$ 能级上粒子的跃迁几率。同样的道理,只要将 Er^{3+} 离子 $^4I_{11/2}$ 能级离子的跃迁几率换为 $^4I_{13/2}$ 能级上粒子的跃迁几率,就可求出 Er^{3+} 离子 $^4I_{13/2}$ 能级与 Ce^{3+} 离子 $^2F_{5/2}$ 能级间的能量转移效率,其结果如图6所示。可见随着 Ce^{3+} 离子浓度的增加, Er^{3+} 离子与 Ce^{3+} 离子间能量转移效率随之增加,但 Er^{3+} 离子 $^4I_{11/2}$ 能级与 Ce^{3+} 离子 $^2F_{5/2}$ 能级间能量转移效率远远大于 $^4I_{13/2}$ 能级与 Ce^{3+} 离子 $^2F_{5/2}$ 能级间的能量转移效率,其差别约为一个数量级。这说明在 Ce^{3+} 含量不大的情况下, Ce^{3+} 离子的加入主要影响 Er^{3+} 离子的 $^4I_{11/2}$ 能级,而对 $^4I_{13/2}$ 能级的影响较小。

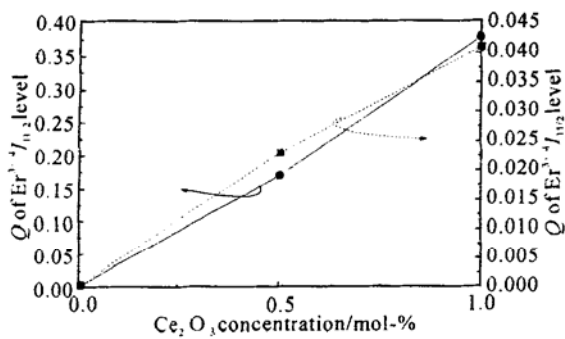


图6 Er^{3+} 离子与 Ce^{3+} 离子能级间的能量转移效率

Fig. 6 Energy transfer efficiency between Er^{3+} and Ce^{3+}

5 结 论

掺 Er^{3+} 碲酸盐玻璃中加入适量的 Ce^{3+} 离子,通过 Ce^{3+} 离子 $^2F_{5/2}$ 能级与 Er^{3+} 离子 $^4I_{11/2}$ 能级间的交叉弛豫作用,可增加 Er^{3+} 离子 $^4I_{11/2}$ 到 $^4I_{13/2}$ 能级无辐射跃迁的几率,提高 $1.55\text{ }\mu\text{m}$ 的发光强度,减弱上转换荧光强度。同时峰值发射截面(σ_e)及荧光半高宽(FWHM)也有一定程度的增加,说明适量 Ce^{3+} 离子可以有效降低上转换荧光强度,改善 $1.55\text{ }\mu\text{m}$ 发光的光谱特性。

参 考 文 献

- 1 L. Le Neindre, S. Jiang, B.-C. Hwang et al.. Effect of relative alkali content on absorption linewidth in erbium-doped tellurite glasses [J]. *J. Non-Cryst. Solids*, 1999, **255**: 97~ 102
- 2 J. S. Wang, E. M. Vogel, E. Snitzer. Tellurite glass: A new candidate for fiber devices [J]. *Optical Materials*, 1994, **3**(3): 187~ 203
- 3 B. Simondr Teisseire, B. Viana, D. Vivien et al.. Yb³⁺ to Er^{3+} energy transfer and rate-equations formalism in the eye safe laser material Yb: Er: Ca₂Al₂SiO₇ [J]. *Optical Materials*, 1996, **6**(4): 267~ 274
- 4 Y. Hu, S. Jiang, G. Sorbello, et al.. Cooperative upconversion in a new high Er-doped tellurite glass [C]. *SPIE*, 2001, **4282**: 57~ 69
- 5 W. J. Miniscalco. Erbium-doped glasses for fiber amplifiers at 1500 nm [J]. *J. Lightwave. Technology*, 1991, **9**(2): 234~ 250
- 6 C. Strohhofer, A. Polman. Enhancement of Er^{3+} $^4I_{13/2}$ population in Y_2O_3 by energy transfer to Ce^{3+} [J]. *Optical Materials*, 2001, **17**(4): 445~ 451
- 7 D. L. Veasey, D. S. Funk, P. M. Peters et al.. Yb/Er codoped and Yb-doped waveguide lasers in phosphate glass [J]. *J. Non-Cryst. Solids*, 2000, **263&264**: 369~ 381
- 8 X. Zou, T. Izumitani. Spectroscopic properties and mechanisms of excited state absorption and energy transfer upconversion for Er^{3+} -doped glasses [J]. *J. Non-cryst. Solids*, 1993, **162**: 68~ 80
- 9 Z. Meng, T. Yoshimura, Y. Nakata et al.. Improvement of fluorescence characteristics of Er^{3+} -doped fluoride glass by Ce^{3+} codoping [J]. *Jpn. J. Appl. Phys.*, 1999, **38** (Part 2, 12A): L1409~ L1411